

اثر بار جانبی ابزار با لبه‌های مارپیچ در فرایند فرزکاری

علی جعفری
دانشجوی کارشناسی ارشد
دانشگاه هوایی شهید ستاری
ali_mech2002@yahoo.com

*علی نوری
استادیار دانشکده هوافضا
دانشگاه هوایی شهید ستاری
ali_nori@iust.ac.ir

محمد کاظمی نصرآبادی
استادیار دانشکده هوافضا
دانشگاه هوایی شهید ستاری
m_nasr1350@yahoo.com

تاریخ پذیرش: ۱۳۹۲/۱۲/۲۲

تاریخ دریافت: ۱۳۹۲/۱۲/۱

چکیده

امروزه فرایند فرزکاری به یکی از متداول‌ترین و پرکاربردترین روش‌های تولید مبدل شده است. از جمله شاخص‌های برتری فرایند فرزکاری می‌توان به دقت بالا، هزینه کم، کاربرد آسان و قابلیت مناسب در تولید قطعاتی با شکل‌های متنوع و پیچیده اشاره کرد. یکی از نیازهای اساسی برای فرایند فرزکاری سرعت‌بالا پیش‌بینی نواحی برش پایدار است. در این مقاله، نخست با استفاده از آزمون‌های شیارتراشی ضرایب برشی برای آلیاژ آلومینیم Al-6061-T6 محاسبه می‌شود و پارامترهای مودال ابزار نیز با استفاده از تست مودال به دست می‌آید. سپس نتایج شبیه‌سازی اثر زاویه مارپیچ بر پایداری سیستم با استفاده از روش تحلیل المان محدود زمانی ارائه می‌شود. با استفاده از نتایج شبیه‌سازی می‌توان اثر بار جانبی ابزار را در اندازه انشعاب هوپف^۱ و حذف انشعاب فلیپ^۲ در فرایند فرزکاری مشخص کرد. در پایان، صحت نتایج شبیه‌سازی‌های انجام‌شده با استفاده از مدل‌های ارائه‌شده توسط مأخذ معتبر مورد تأیید قرار گرفته است.

واژگان کلیدی: فرزکاری، بار جانبی، پایداری، زاویه مارپیچ

۱. مقدمه

اسپیندل مشخص می‌کند. در فرزکاری دو نوع ناپایداری تشخیص داده شده است که ارتعاشات خودبرانگیخته کلاسیک یا انشعاب هوپف و دیگری انشعاب فلیپ ناشی از آثار ضربه‌ای هنگام ورود و خروج قطعه‌کار نامیده شده‌اند. انشعاب فلیپ پدیده‌ای است که اصولاً در فرزکاری سرعت‌بالا با بار جانبی کم اتفاق می‌افتد [۲]. در شکل ۱ دیاگرام دالان پایداری بهمراه ناپایداری‌های انشعاب هوپف و فلیپ نمایش داده شده است.

معمولًاً بهنگام فرزکاری محیطی، ارتعاشات ناخواسته‌ای پدید می‌آید؛ نوسانات و ارتعاشاتی که کیفیت قطعه تمام شده و عمر ابزار - اسپیندل را تحت تأثیر قرار می‌دهد. بنابراین بهمنظور محدودنمودن این ارتعاشات، کاربر ناگزیر از انتخاب شرایط برشی مناسب است. نظریه دالان‌های پایداری امکان انتخاب شرایط برشی مناسب را ایجاد می‌کند [۱]. این نظریه مرز میان برش پایدار و برش ناپایدار را با رسم عمق برش محوری برحسب سرعت

این ابزارها عموماً در شرایط عمق برش زیاد و عرض برش کم مورد استفاده قرار می‌گیرند. مارپیچ روی لبه برندہ سبب افزایش تدریجی بار براده در طول لبه می‌شود. اگر زاویه مارپیچ ابزار برابر با β باشد، یک نقطه روی لبه ابزار دارای یک تأخیر زاویه‌ای نسبت به پایین‌ترین نقطه همان لبه خواهد بود. مقدار تأخیر زاویه‌ای $\frac{\pi}{2}$ در عمق محوری z به صورت رابطه ۱ به دست می‌آید:

$$\tan \beta = \frac{D\psi}{2z} \Rightarrow \psi = \frac{2z \tan \beta}{D} \quad (1)$$

به این ترتیب اگر موقعیت زاویه‌ای پایین‌ترین نقطه یک لبه از ابزار θ ، به عنوان مرجع زاویه انتخاب شود، نقطه‌ای در ارتفاع z روی همان لبه دارای موقعیت زاویه‌ای $(\theta - \psi)$ خواهد بود. در نتیجه ضخامت براده برداشته شده توسط نقاط گوناگون یک لبه متغیر خواهد بود. برای یک فرز انگشتی با زاویه مارپیچ β ، مؤلفه نیروی برش در راستای x و y به صورت رابطه ۲ بیان می‌شود [۷]:

$$F_x(t) = \int_{Z_1(t)}^{Z_2(t)} dF_x(z, t) \quad (2)$$

$$F_y(t) = \int_{Z_1(t)}^{Z_2(t)} dF_y(z, t)$$

به طوری که در این روابط $dF_y(z, t)$ و $dF_x(z, t)$ به ترتیب نیروهای دیفرانسیلی روی المان لبه برشی در ارتفاع z و همچنین $Z_1(t)$ و $Z_2(t)$ مختصات z در نقاط شروع و انتهای درگیری لبه می‌باشند. نیروی برشی دیفرانسیلی dF_y و dF_x توسط روابط ۳ بیان می‌شوند:

$$dF_x(z, t) = -dF_t \cos \theta_p(z, t) - dF_n \sin \theta_p(z, t) \quad (3)$$

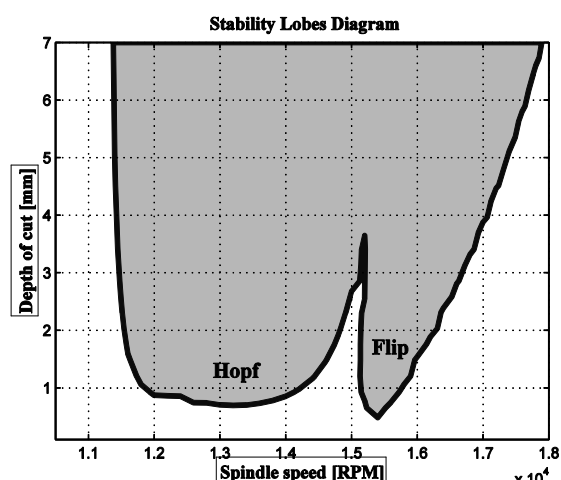
$$dF_y(z, t) = -dF_t \sin \theta_p(z, t) - dF_n \cos \theta_p(z, t)$$

به طوری که در این روابط dF_t ، θ_p و dF_n به صورت روابط ۴ و ۵ تعریف می‌شوند:

$$dF_n = g(z, t) K_n w(\theta(z, t)) dz \quad (4)$$

$$dF_t = g(z, t) K_t w(\theta(z, t)) dz \quad (5)$$

تحلیل پایداری در فرایند فرزکاری با استفاده از مدل‌های خطی و غیرخطی انجام می‌شود. به تازگی الیور و همکاران محاسبه دیاگرام دالان‌های پایداری با استفاده از مدل‌های خطی و غیرخطی را بهطور جامع مقایسه کردند [۳]. با توجه به مرور مقاله‌های متنوع، یکی از بهترین و کارآمدترین روش‌ها برای تعیین پایداری روش آنالیز المان محدود زمانی است. در تحقیقات گذشته، برای سیستم‌های یک و دو درجه آزادی این روش در مورد ابزارهایی با زاویه مارپیچ صفر درجه مورد استفاده قرار گرفته است. نقطه ضعف اصلی تحقیقات قبلی [۴، ۵ و ۶] این است که زاویه مارپیچ صفر برای ابزارهای فرزکاری در نظر گرفته شده است، حال آنکه زاویه مارپیچ استاندارد در صنعت ۳۰، ۴۵ و ۶۰ درجه می‌باشد. از میان زاویه‌های فوق، زاویه ۳۰ درجه متداول‌تر است. در این مقاله، محدوده پایداری با استفاده از روش آنالیز المان محدود زمانی با در نظر گرفتن اثر زاویه مارپیچ تعیین و اثر بار جانبی ابزار در اندازه انشعاب هویف و فلیپ در فرایند فرزکاری با استفاده از ابزار با لبه‌های مارپیچ تعیین می‌گردد.



شکل ۱. دیاگرام دالان پایداری و انشعاب‌های هویف و فلیپ

۲. محاسبه نیروی برش برای لبه برندۀ مارپیچ

به منظور کاهش تغییرات شدید مؤلفه‌های نوسانی نیروهای برشی از فرز انگشتی با لبه برندۀ مارپیچی استفاده می‌شود.

تعیین می‌شود. مطالعه مشخصه‌های دینامیکی ابزار با استفاده از آزمایش مودال توسط مجموعه تست مودال B&K Pulse Model 3560D انجام شده است. مجموعه آزمایش مودال شامل یک وسیله تحریک، یک مبدل و یک تحلیلگر است. وسیله تحریک یا چکش مودال از نوع Endevco بوده، بهمنظور تحریک سازه به کار می‌رود که مقدار نیروی اعمال شده به ابزار را از طریق یک لودسل^۴ داخلی اندازه‌گیری می‌کند. مبدل، بهمنظور اندازه‌گیری پاسخ سازه مورد استفاده قرار می‌گیرد و شتاب‌سنج پیزوالکتریک مدل A/123/E952 ساخت شرکت دی. جی. برچال^۵ می‌باشد. همچنین از تحلیلگر ۳۲ کاناله پالس^۶ استفاده شده است.

۱-۳. محاسبه ضرایب نیروی برش

یک روش سریع برای تعیین ثابت‌های نیروی برش، انجام آزمایش و تعیین ضرایب برشی است. در این روش - که به روش ساختارگرا نیز معروف است - مجموعه‌ای از آزمایش‌ها تحت پیشروی‌های گوناگون اما میزان درگیری و عمق برش ثابت انجام می‌شود. سپس مقدار متوسط نیرو در هر پریود ابزار اندازه‌گیری و بهمنظور جلوگیری از اثر خطای خروج از مرکز ابزار روی اندازه‌گیری‌ها، کل نیرو در هر دور اسپیندل جمع و بر تعداد دندانه‌های اسپیندل تقسیم می‌شود. سپس مقدار اندازه‌گیری‌شده نیروی متوسط از روش تحریکی با رابطه نظری برابر قرار داده می‌شود و بدین ترتیب ثابت‌های نیروی برش به دست می‌آیند. در روش ساختارگرا آزمایش شیارزنی متداول است.

$$\theta_p(z,t) = \Omega t - \left(\frac{2 \tan \beta}{D} \right) z \quad (6)$$

ضخامت براده نیز با استفاده از رابطه ۷ محاسبه می‌شود:

$$w(z,t) = h \sin \theta_p(z,t) + [x(t) - x(t-\tau)] \sin \theta_p(z,t) + [y(t) - y(t-\tau)] \cos \theta_p(z,t) \quad (7)$$

و نهایتاً $K_c(t)$ و $f_0(t)$ اصلاح شده با گجاندن اثر زاویه مارپیچ به صورت رابطه ۸ بیان می‌شوند [۷]:

$$K_c(t) = \sum_{p=1}^N g_p(t) \int_{z_1(t)}^{z_2(t)} [K_t \sin \theta_p(t) \cos \theta_p(t) + K_n \sin \theta_p(t) \sin \theta_p(t)] dz \quad (8)$$

$$f_0(t) = \sum_{p=1}^N h g_p(t) \int_{z_1(t)}^{z_2(t)} [K_t \sin \theta_p(t) \cos \theta_p(t) + K_n \sin \theta_p(t) \sin \theta_p(t)]$$

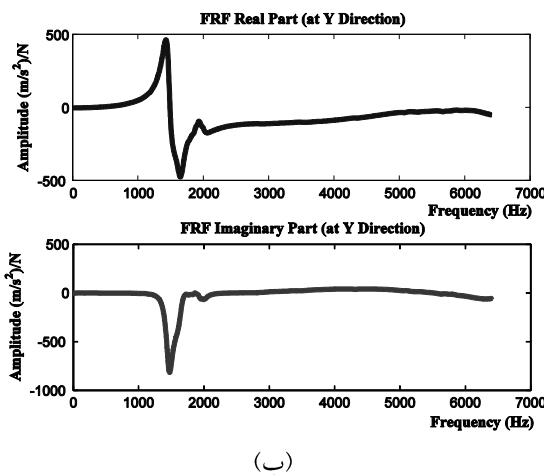
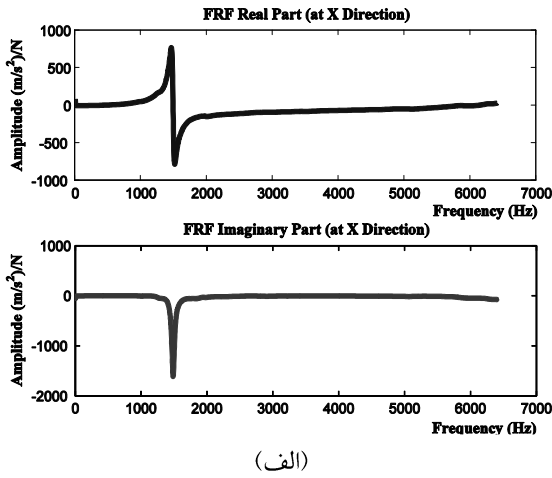
۳. روش انجام آزمایش‌ها برای تعیین ثابت‌های نیروی برش و پارامترهای مودال ابزار

آزمایش‌های فرزکاری با استفاده از دینامومتر پیزوالکتریک چند مؤلفه‌ای کیستلر 9255B اندازه‌گیری نیروهای فرزکاری انجام شده است. جهت انجام آزمایش، ابتدا دینامومتر دقیقاً تنظیم و روی میز ماشین ابزار ساعت می‌گردد. سپس با استفاده از وزنهای ۱۰ نیوتونی دینامومتر کالیبره می‌شود. پس از اطمینان از صحت عملکرد دینامومتر آزمایش را شروع می‌کنیم. نخست ضرایب نیروی برشی آلیاژ آلومینیوم Al6061-T6 مطابق شرایط ارائه شده در جدول ۱ تعیین می‌شود. سپس با انجام آزمایش‌های مودال روی فرز انگشتی دولبه از جنس فولاد تندری پارامترهای مودال ابزار

جدول ۱. شرایط ماشینکاری و تست‌های انجام شده جهت محاسبه ضرایب نیروی برشی

شماره آزمایش	عمل برش محوری بر حسب میلی‌متر	عمق برش شعاعی بر حسب میلی‌متر	بار براده ^۷ بر حسب میلی‌متر بر دندانه	سرعت اسپیندل بر حسب دور بر دقیقه
۱	۴	۱۲	۰/۱	۳۵۰۰
۲	۴	۱۲	۰/۱۵۰۸۵	۳۵۰۰
۳	۴	۱۲	۰/۲۰۱۷۸	۳۵۰۰

۷۸ میلی‌متر می‌باشد. با استفاده از نمودار تابع پاسخ فرکانسی برای قسمتهای حقیقی و موهومی مطابق شکل ۳ پارامترهای مودال ابزار به صورت جدول ۳ محاسبه شده است.



شکل ۳. نمودار تابع پاسخ فرکانسی
الف) در راستای x ، ب) در راستای y

جدول ۳. پارامترهای مودال ابزار

راستای y	راستای x	
۱۴۷۵	۱۴۸۵	فرکانس (هرتز)
+۰.۰۷۴۲۴	+۰.۱۷۸۴	نسبت میرایی ^{۱۰} (درصد)
$7/10^4 \times 10^5$	$1/516 \times 10^6$	سختی ^{۱۱} (نیوتن بر متر)

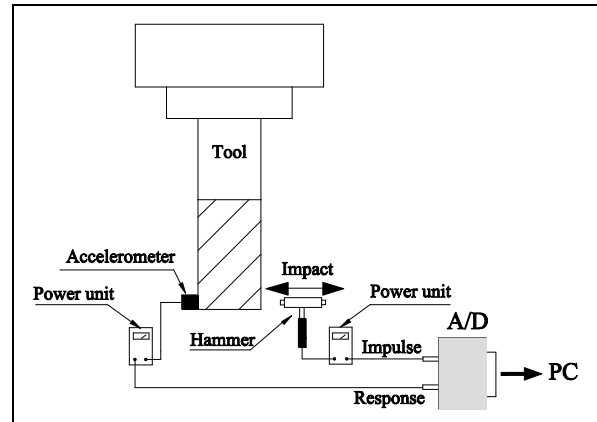
آزمایش‌های برشی توسط ابزار از جنس فولاد تندربر^۸ دوشیاره با مقدار طول بیرون‌آمدگی ابزار از کولت یا نگهدارنده ابزار^۹ ۴۰ میلی‌متر برای مشخصات ارائه شده در جدول ۱ انجام شده است. با استفاده از رگرسیون خطی ضرایب نیروی برشی و لبه‌ای در راستای شعاعی و مماسی محاسبه و در جدول ۲ ارائه شده‌اند.

جدول ۲. ضرایب برشی به دست آمده از آزمایش شیارزنی

پارامتر	واحد	مقدار
n	دور بر دقيقه	۳۵۰۰
K_{tc}	نیوتن بر میلی‌متر مریع	۵۵۲/۵۵۷
K_{rc}	نیوتن بر میلی‌متر مریع	۱۸۶/۶۴
K_{te}	نیوتن بر میلی‌متر	۱۹/۶۳
K_{re}	نیوتن بر میلی‌متر	۱۵/۷۶۷

۳-۲. پارامترهای مودال ابزار

در شکل ۲ نحوه انجام آزمایش مودال ابزار نمایش داده شده است.

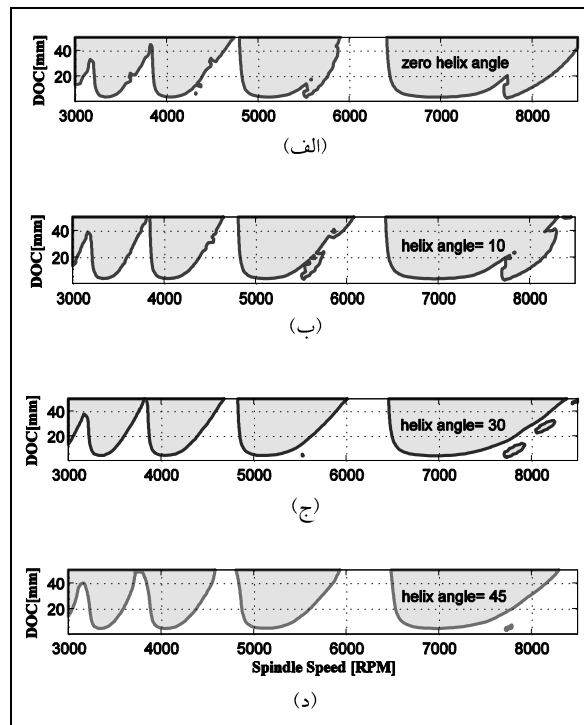


شکل ۲. نحوه انجام آزمایش مودال ابزار

در این مقاله به منظور اندازه‌گیری تابع پاسخ فرکانسی ابزار، ابتدا شتاب‌سنج در نوک ابزار و در جهت x قرار می‌گیرد. سپس ابزار توسط چکش در جهت x تحریک می‌شود. همین عمل برای جهت y نیز تکرار شده است. ابزار مورد استفاده از جنس فولاد تندربر و به قطر ۱۲ میلی‌متر و تعداد دو لبه با طول بیرون‌آمدگی ابزار از کولت یا نگهدارنده ابزار

۴. اثر زاویه مارپیچ

به منظور بررسی اثر زاویه مارپیچ در پایداری فرایند فرزکاری با بار جانبی کم حالت تأییدشده‌ای در فرایند فرزکاری یک درجه آزادی در نظر گرفته می‌شود. پارامترهای دینامیکی ابزار، ضرایب برشی، قطر ابزار مطابق مرجع [۸] در جدول ۴ ارائه شده است. درگیری برای همه شبیه‌سازی‌ها ۵ درصد است. برای ماکریم عمق برش ۵۰ میلی‌متر و ماکریم زاویه مارپیچ ۴۵ درجه فقط یک لبه از مجموع دو لبه ابزار در برش درگیر شده است. نتایج در محدوده سرعت اسپیندل ۳۰۰۰ تا ۸۵۰۰ برای فرایند فرزکاری یک درجه آزادی با پارامترهای ارائه شده در جدول ۴ در شکل ۴ نمایش داده شده است.



شکل ۴. دالان‌های پایداری برای فرایند یک درجه آزادی با تغییر زاویه مارپیچ

با افزایش زاویه مارپیچ انشعباب فلیپ ابتدا به جزایر ناپایدار تبدیل می‌شود و با افزایش بیشتر در زاویه مارپیچ این جزایر از بین خواهند رفت که روند مشابهی توسط مرجع [۸] پیش‌بینی شده بود.

۵. نتایج شبیه‌سازی با استفاده از پارامترهای واقعی مورد استفاده در آزمایش‌ها

فرایند فرزکاری با استفاده از ضرایب نیروی برشی مطابق جدول ۲، پارامترهای مودال مطابق جدول ۳ و شرایط ماشینکاری داده شده در جدول ۵ برای فرایند فرزکاری با بار جانبی کم در حالت فرزکاری مخالف با استفاده از روش تحلیل المان محدود زمانی شبیه‌سازی شده است. شبیه‌سازی برای زاویه‌های مارپیچ صفر، ۱۵ و ۳۰ درجه با در نظر گرفتن محدوده سرعت اسپیندل ۵۰۰۰ تا ۷۰۰۰ دور بر دقیقه و محدوده عمق برش صفر تا ۵ میلی‌متر انجام شده و نتایج در شکل ۴ ارائه شده است. همان‌گونه که در شکل ۵ مشخص شده است، با افزایش زاویه مارپیچ مرز ناپایداری انشعباب فلیپ حذف می‌شود. شکل ۶ فرایند فرزکاری مخالف با زاویه مارپیچ ۱۰ درجه را با استفاده از پارامترهای جدول ۴ در بارهای جانبی مختلف نشان می‌دهد. با مشاهده این شکل مشخص می‌شود که با افزایش بار جانبی فلیپ در اندازه تغییر می‌کند، اما در موقعیت آنها، در محدوده سرعت اسپیندل یکسان تغییری حاصل نمی‌شود. همچنین مشاهده می‌شود که با افزایش بار جانبی اندازه انشعباب هوپف افزایش یافته و با افزایش بیشتر در بار جانبی انشعباب فلیپ شروع به حذف‌شدن می‌نماید. اساساً دالان‌های فلیپ^{۱۲} مربوط به آثار ضربه در هنگام ورود و خروج ابزار از قطعه‌کار بوده و مستقل از جهت پیشروی می‌باشند.

۶. نتیجه‌گیری

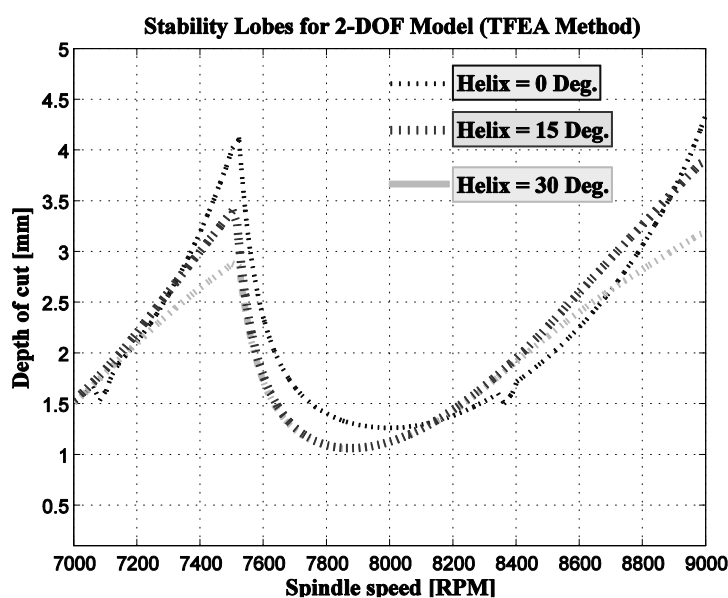
حدود پایداری فرایند فرزکاری یک درجه آزادی با لبه برنده مارپیچ با استفاده از روش آنالیز المان محدود زمانی شبیه‌سازی شده است. نتایج شبیه‌سازی در بارهای جانبی گوناگون نشان می‌دهد که با افزایش بار جانبی انشعباب فلیپ در اندازه تغییر می‌کند، اما در موقعیت آنها، در محدوده سرعت اسپیندل یکسان تغییری حاصل نمی‌شود. همچنین مشاهده می‌شود که با افزایش بار جانبی اندازه

فلیپ مربوط به آثار ضربه در هنگام ورود و خروج ابزار از قطعه کار بوده و مستقل از جهت پیش روی می باشند.

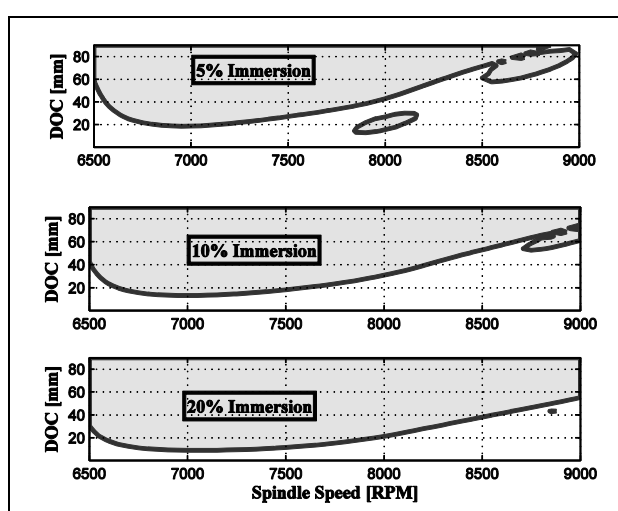
انشعاب هویف افزایش یافته و با افزایش بیشتر در بار جانبی انشعاب فلیپ شروع به حذف شدن می کند. اساساً انشعاب

جدول ۵. شرایط برشی

۲	تعداد دندانهای برشی
۱۲ میلی متر	قطر ابزار
۱/۰ میلی متر بر دندانه	پیش روی بر دندانه
۱۲ به ۲	نسبت عمق برش شعاعی به قطر ابزار



شکل ۵. دالانهای پایداری برای زاویه‌های مارپیچ صفر، ۱۵ و ۳۰ درجه



شکل ۶. دالانهای پایداری برای فرایند فرزکاری مخالف با زاویه مارپیچ ۱۰ درجه و بارهای جانبی مختلف

جدول ۴. پارامترهای انتخاب شده از مرجع [۸]

ضریب برش ^{۱۵}	پارامترهای ابزار ^{۱۶}		پارامترهای مودال ^{۱۷}	
$8.04/3 \times 10^6$ نیوتون بر متر مربع	K_t	صفر	زاویه مارپیچ بر حسب درجه	۵/۳۶۴ کیلوگرم
		۱۰		
		۳۰		
		۴۵		
331×10^6 نیوتون بر متر مربع	K_n	۲۰	قطر ابزار بر حسب میلی متر	۲۱/۶ $\times 10^6$ نیوتون بر متر
		۵ درصد درگیری	$aD = \frac{a_e}{D}$	۴۲۱/۹۴۸ نیوتون ثانیه بر متر

۷. مأخذ

- [1] Boothroyd G. & Knight W. *Fundamentals of Machining and Machine Tools*, 1989.
- [2] Insperger, T., B.P. Mann, G. Stepan, P.V. Bayly. "Stability of up-milling and down-milling, part 1: alternative analytical methods." *International Journal of Machine Tools & Manufacture* 43, 2003, pp. 25–34
- [3] Oliver Rott, Dietmar Homberg, Carsten Mense. A comparison of analytical cutting force models, ISSN 0946 – 8633, 2006.
- [4] Bayly, P.V., Halley, J.E., Mann, B.P. and Davies, M.A. Stability of interrupted cutting by temporal finite element analysis, *Proceedings of ASME Design Engineering Technical Conference*, Pittsburgh, PA, 2001.
- [5] Mann, B.P., Bayly, P.V., Davies, M.A., Halley, J.E. Limit Cycles, "Bifurcations and Accuracy of the Milling Process." *Journal of Sound and Vibration*, 2004, 277, pp. 31-48.
- [6] Gradisek J., Govekar, E., Grabec, I., Weinert, K., Kalveram, M., Insperger, T., Stépán, G. "On Stability Prediction for Low Radial Immersion Milling." *Machine Science and Technology*, 2005, pp.117–130.
- [7] Altintas, Y. "Manufacturing Automation, Metal Cutting Mechanics." *Machine Tool Vibration and CNC Design*, Cambridge University Press, 2000.
- [8] Insperger, T., Muñoa, J., Zatarain, M., Peigné, G. "Unstable Islands in the Stability Chart of Milling Processes Due to the Helix Angle." *CIRP 2nd Int. Conference High Performance Cutting*. June 12-13, Vancouver, BC, Canada, 2006.

پی‌نوشت

-
- | | |
|---|---|
| 1. Hopf or Poincaré–Andronov–Hopf bifurcation | 5. D.J. BIRCHALL or DJB Instruments,
http://www.djbinstruments.com (accessed March 13, 2014) |
| 2. Flip Bifurcation | |
| 3. time finite element analysis | |
| 4. load cell | 6. pulse |
-

-
- 7. chip load
 - 8. high-speed steel (HSS)
 - 9. overhang
 - 10. damping ratio
 - 11. stiffness
 - 12. Flip lobes
 - 13. modal parameters
 - 14. tool parameters
 - 15. cutting coefficient